



ĐẠI HỌC QUỐC GIA TP. HỒ CHÍ MINH  
**TRƯỜNG ĐH KHOA HỌC TỰ NHIÊN**  
KHOA KHOA HỌC VÀ CÔNG NGHỆ VẬT LIỆU



## Chương 2

- Quang xúc tác dị thể
- Thiết kế thí nghiệm đo quang xúc tác

ThS. Phạm Văn Việt  
([pvviet@hcmus.edu.vn](mailto:pvviet@hcmus.edu.vn))

Tp. Hồ Chí Minh, năm 2017

# Nội dung

## 2.1 Các loại quang xúc tác dị thể

2.1.1 Các loại cấu trúc tiếp giáp dị thể bán dẫn

2.1.2 Cấu trúc p-n

2.1.3 Cấu trúc dị thể theo sơ đồ Z

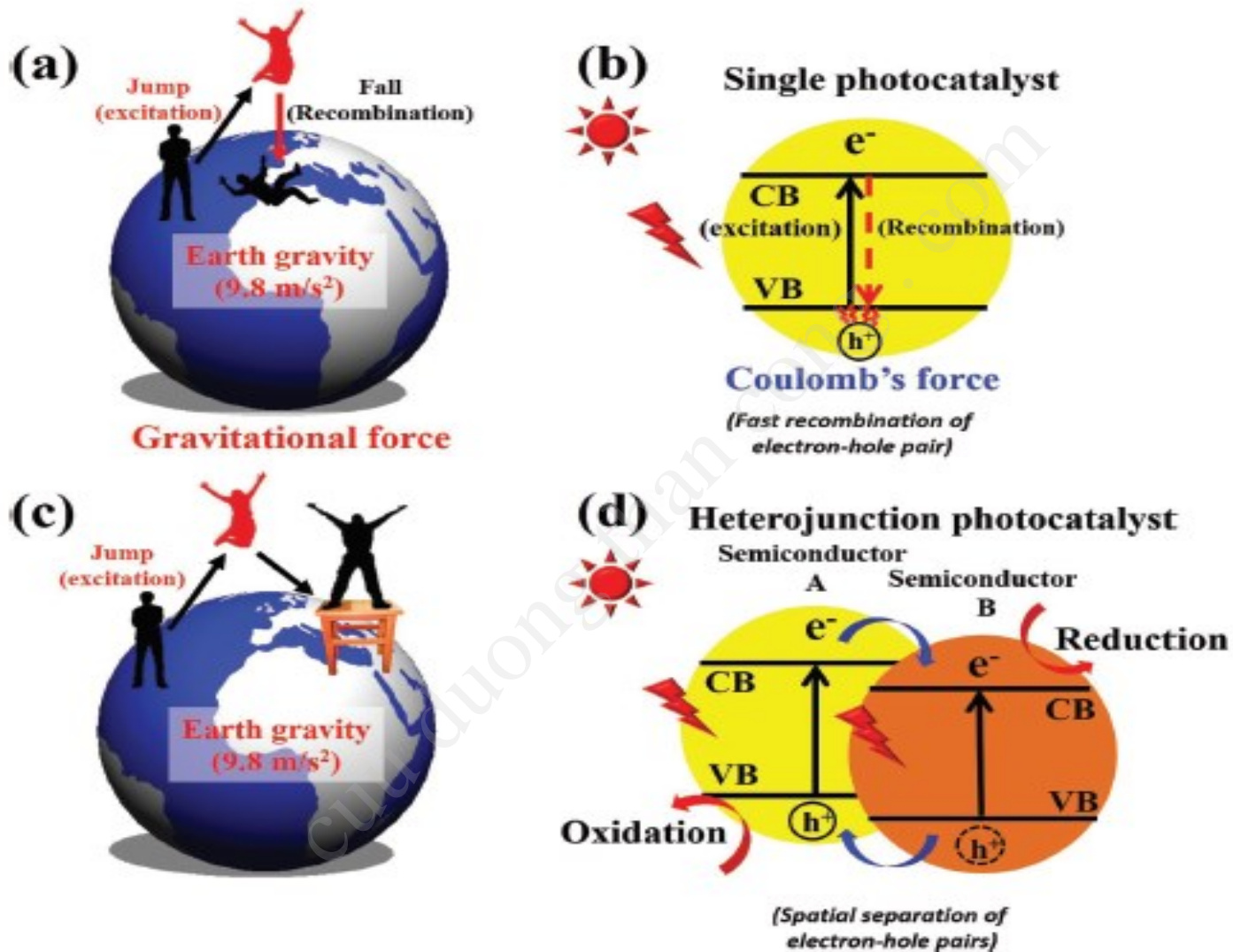
2.1.4 Cấu trúc dị thể với Graphene

## 2.2 Thiết kế các thí nghiệm đo quang xúc tác

2.2.1 Quang xúc tác xử lý nước

2.2.2 Quang xúc tác xử lý khí

## 2.1 Các loại quang xúc tác dị thể



**Figure 2.** Schematic illustration of: a) the effect of gravitational force on a man who jumps off the ground, b) electron–hole recombination on a single photocatalyst, c) use of a stool to keep a man off the ground, and d) electron–hole separation on a heterojunction photocatalyst.

## Các loại cấu trúc tiếp giáp dị thể bán dẫn

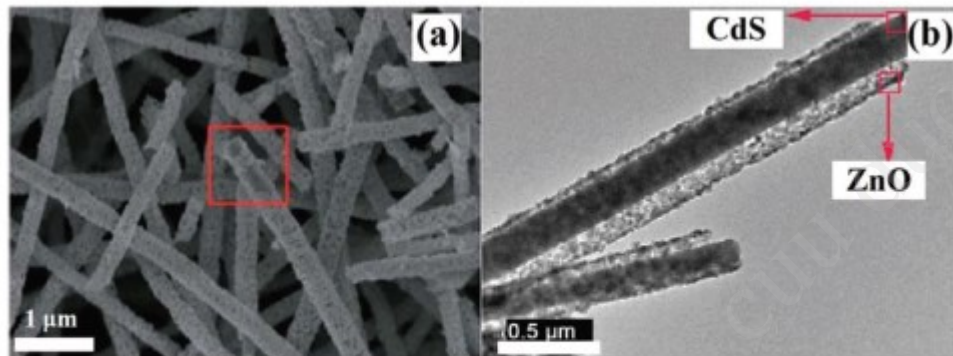
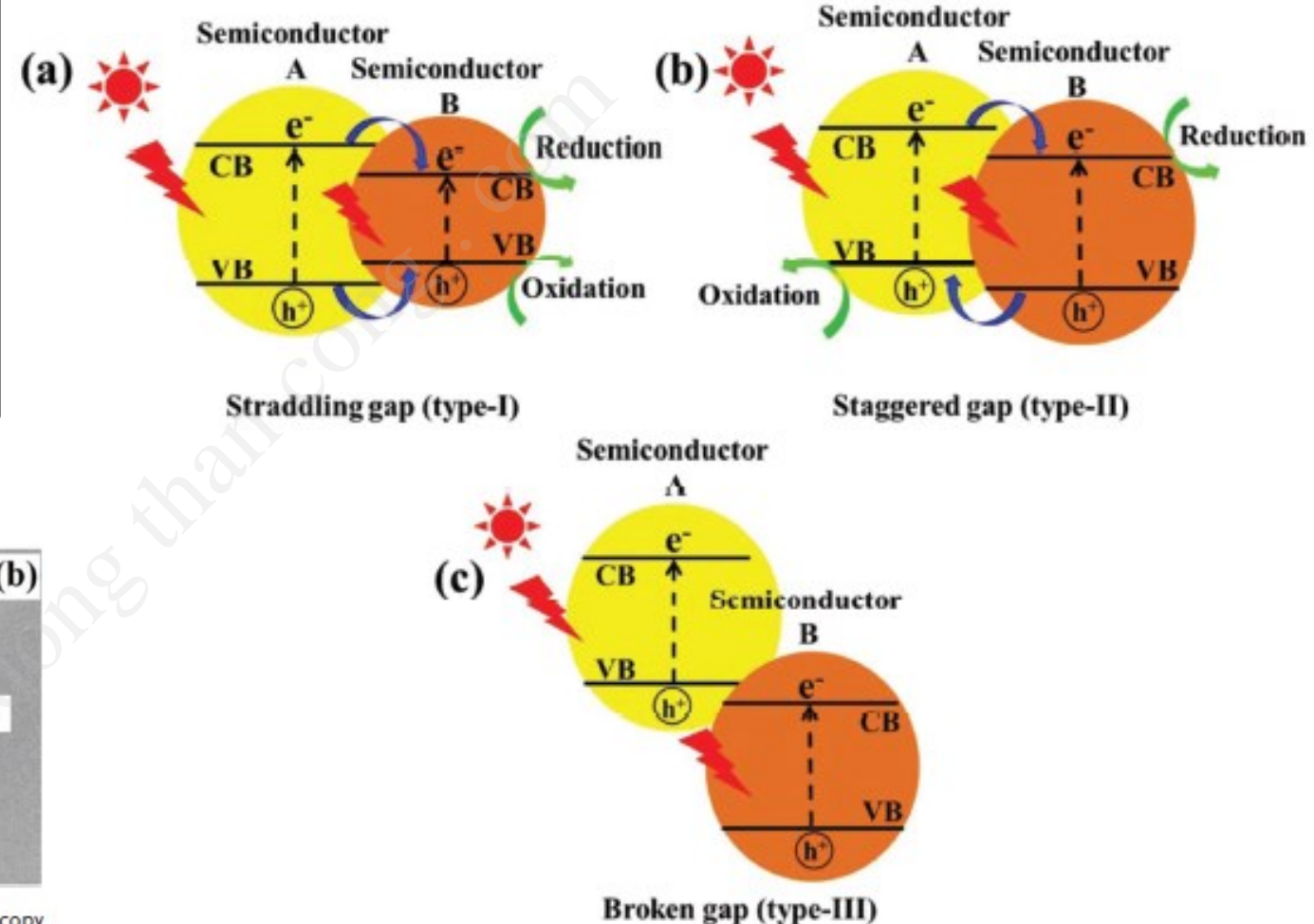
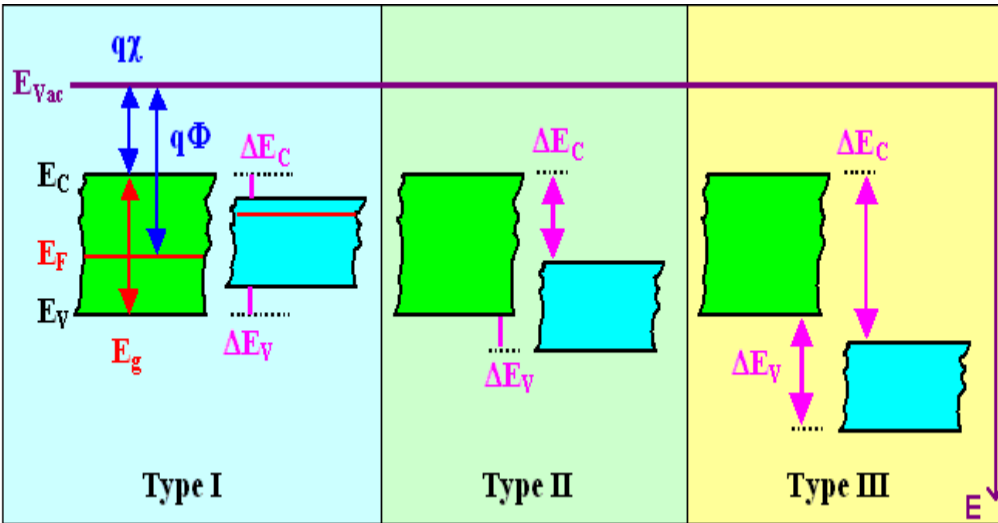
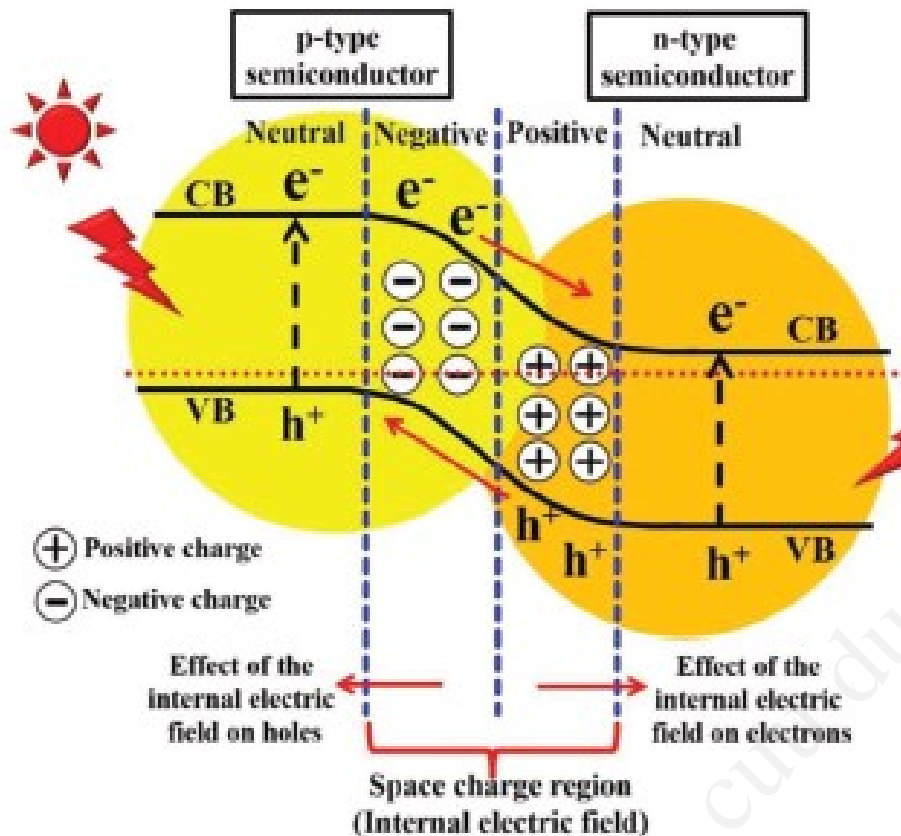
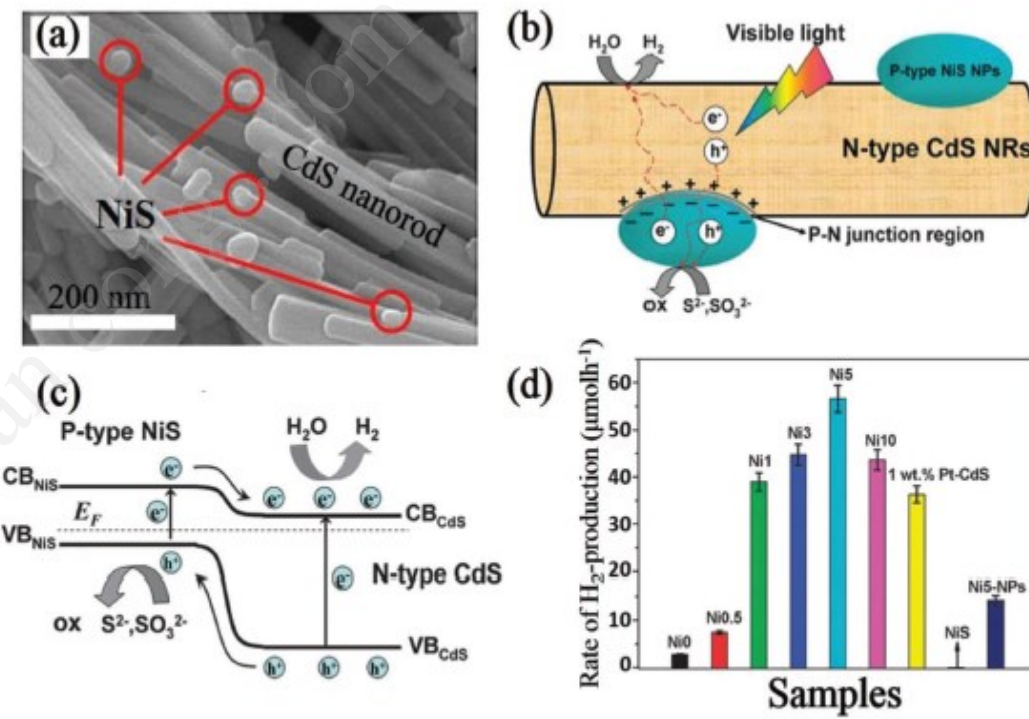


Figure 5. a,b) Scanning electron microscopy (SEM) (a) and transmission electron microscopy (TEM) (b) images of CdS/ZnO core/shell nanofibers with a type-II heterojunction. Reproduced with permission.<sup>[10]</sup> Copyright 2013, The Royal Society of Chemistry.

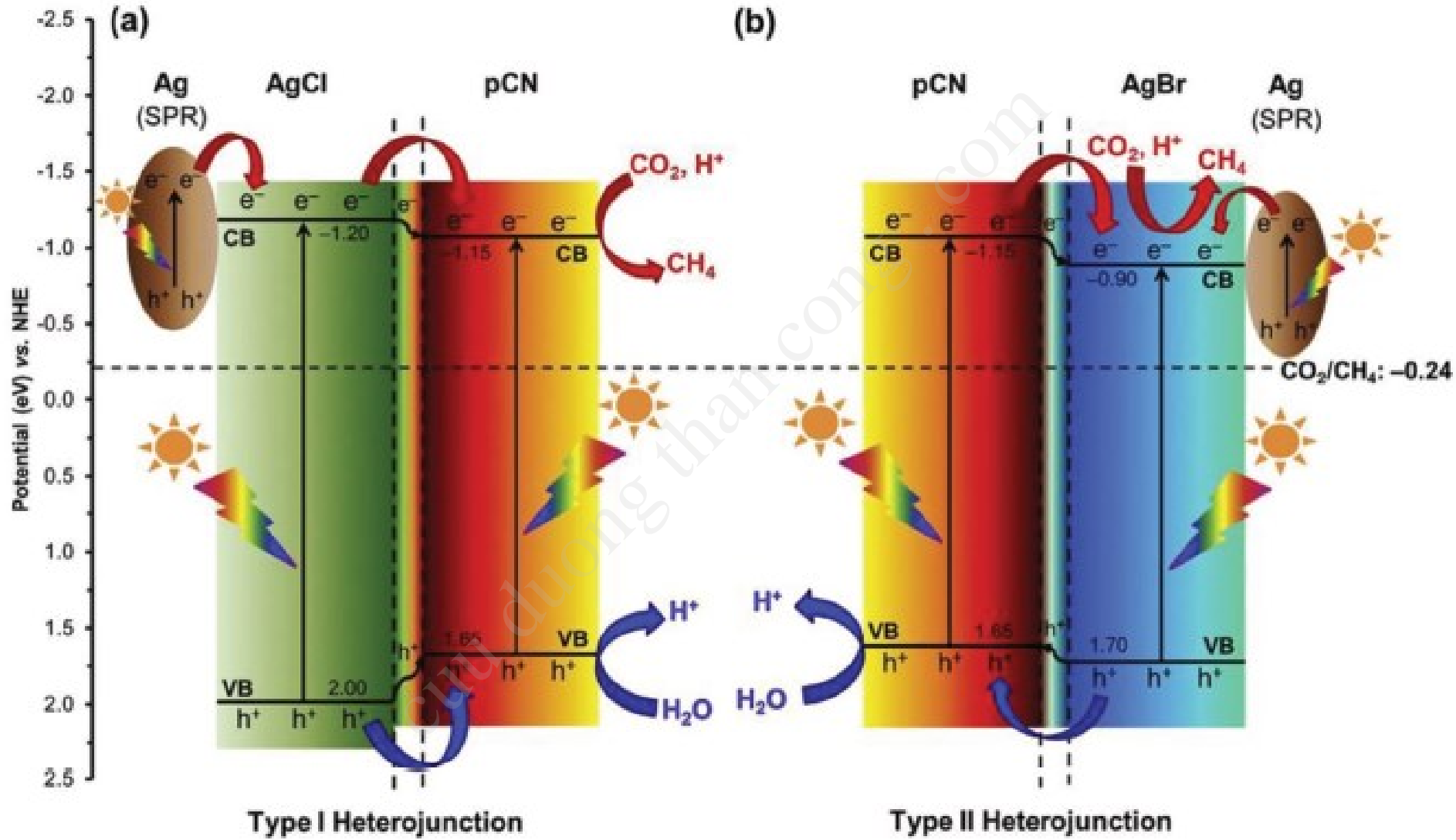
## p-n Heterojunctions



**Figure 8.** Schematic illustration of the electron–hole separation under the influence of the internal electric field of a p–n heterojunction photocatalyst under light irradiation.



**Figure 9.** a) SEM image of 5 wt% NiS-loaded CdS. b,c) Schematic illustration of the charge-carrier separation on the NiS/CdS nanorods with p–n heterojunctions (b) and across the NiS/CdS p–n heterojunction (c). d) Comparison of the photocatalytic activity of CdS with different NiS loadings: Ni0 (0 wt% NiS), Ni0.5 (0.5 wt% NiS), Ni1 (1 wt% NiS), Ni3 (3 wt% NiS), Ni5 (5 wt% NiS), Ni10 (10 wt% NiS), 1 wt% Pt–CdS, and pure NiS under visible-light irradiation. Reproduced with permission.<sup>[29]</sup> Copyright 2013, The Royal Society of Chemistry.



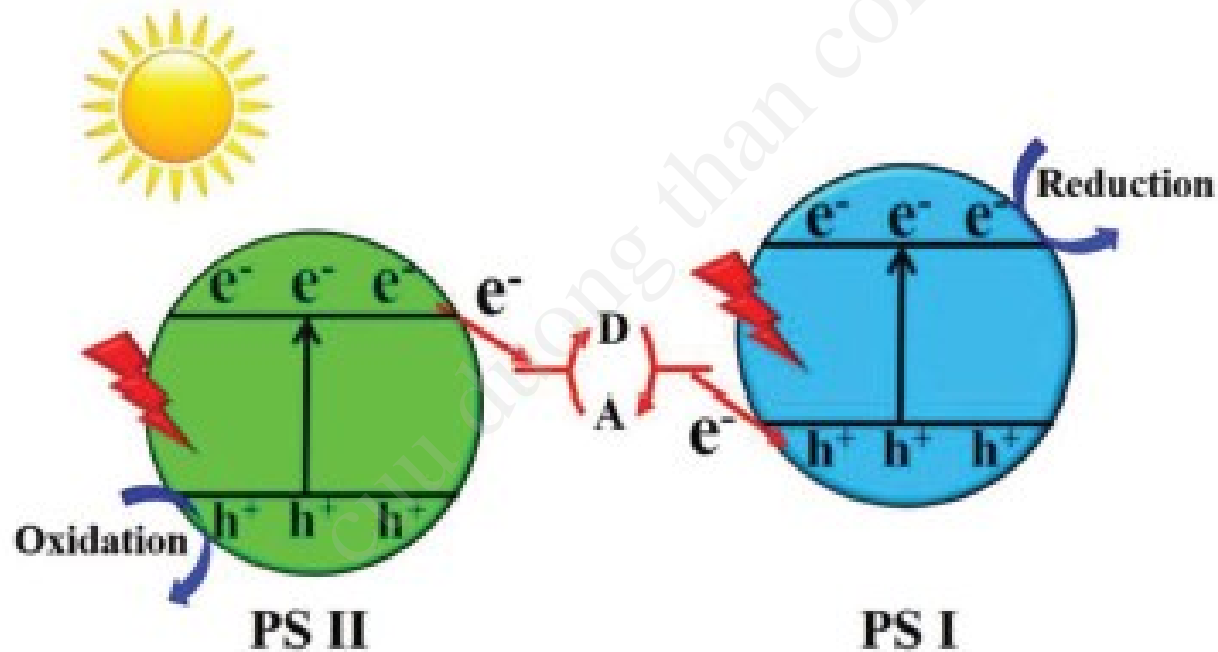
## Direct Z-Scheme Heterojunctions



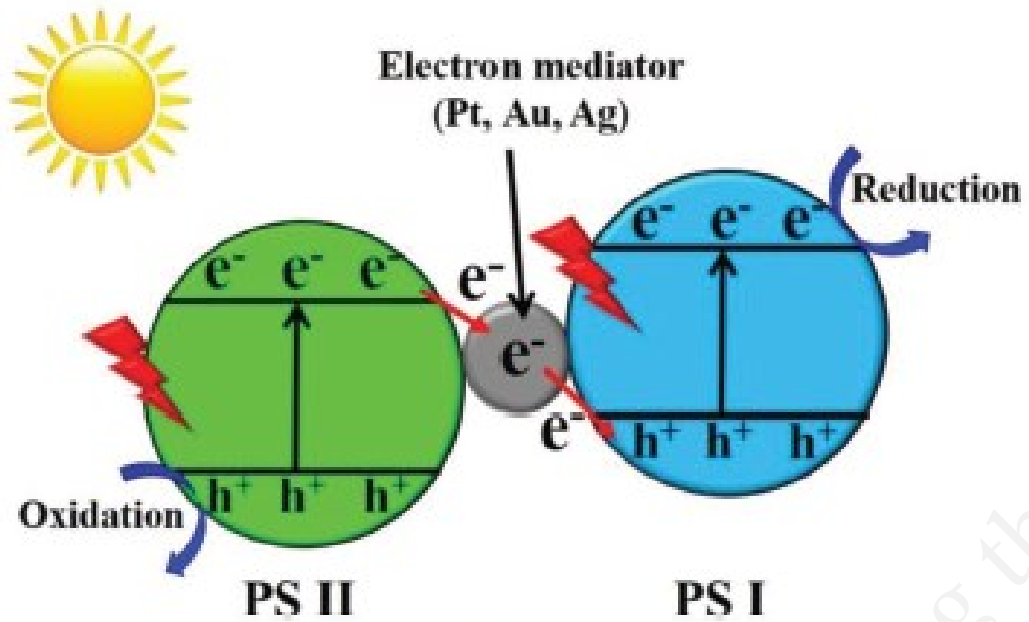
(3)



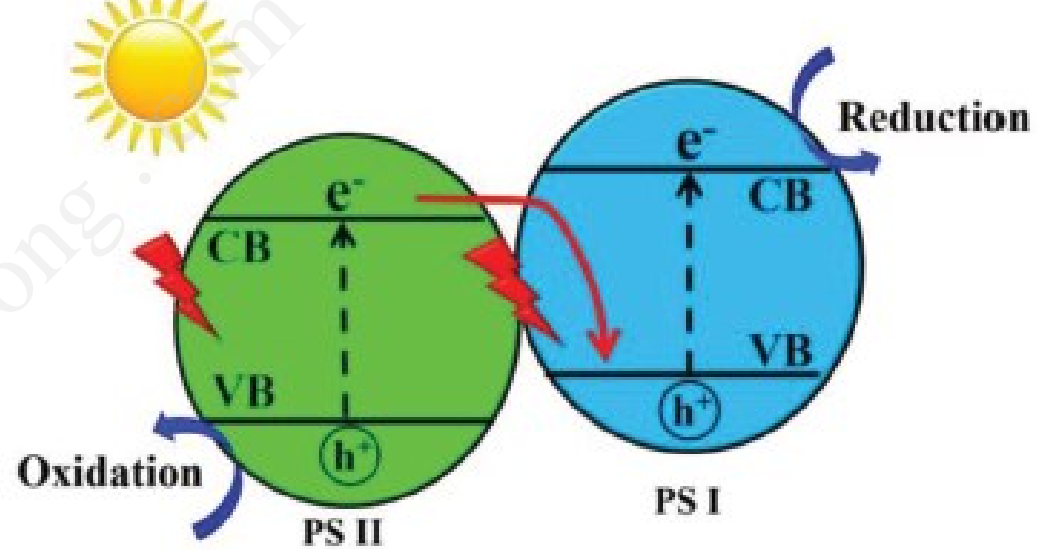
(4)



**Figure 14.** Schematic illustration of electron–hole separation on the conventional Z-scheme photocatalytic system under light irradiation.

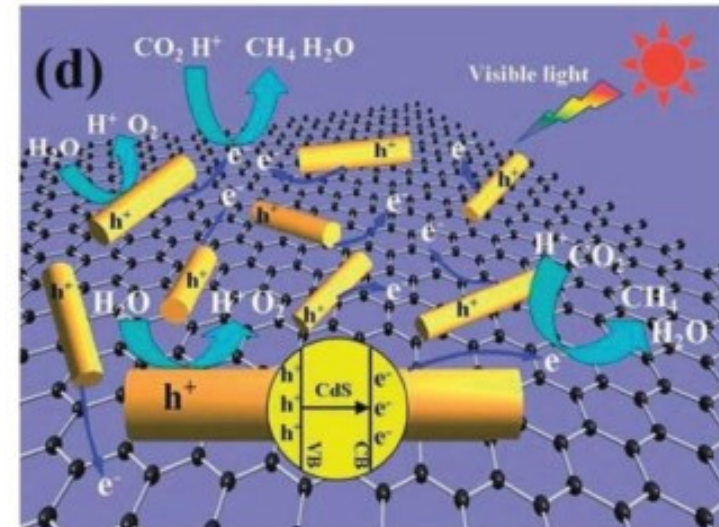
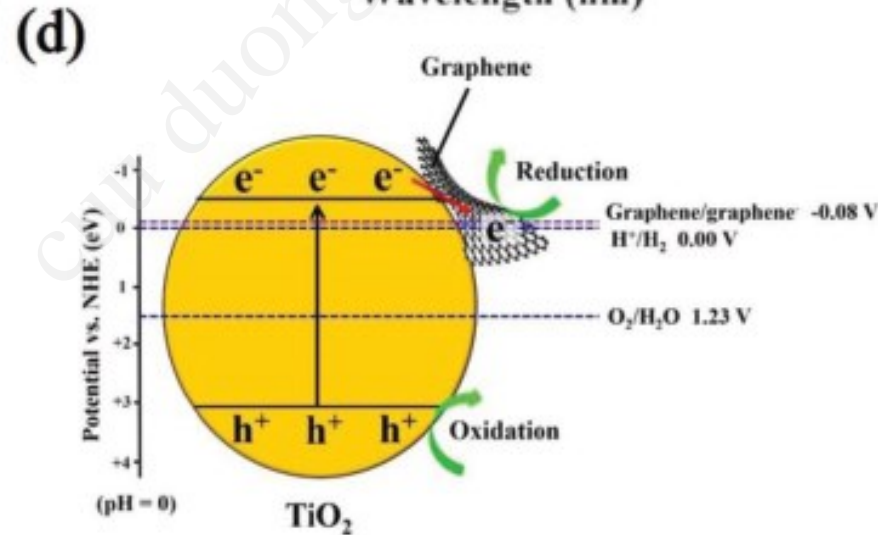
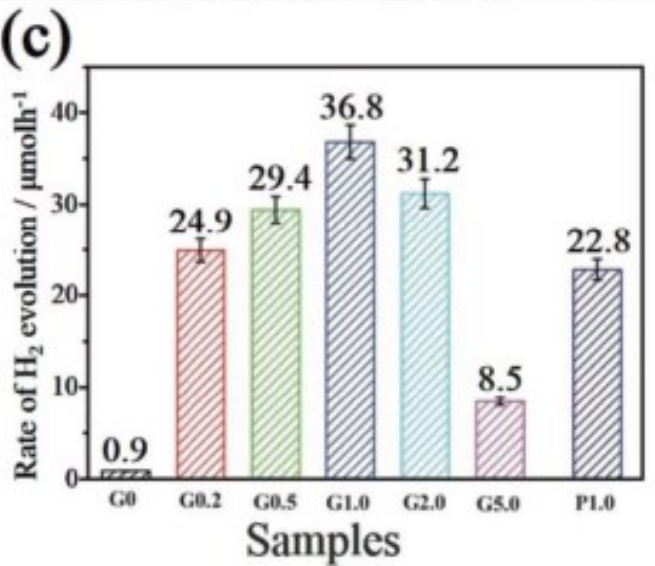
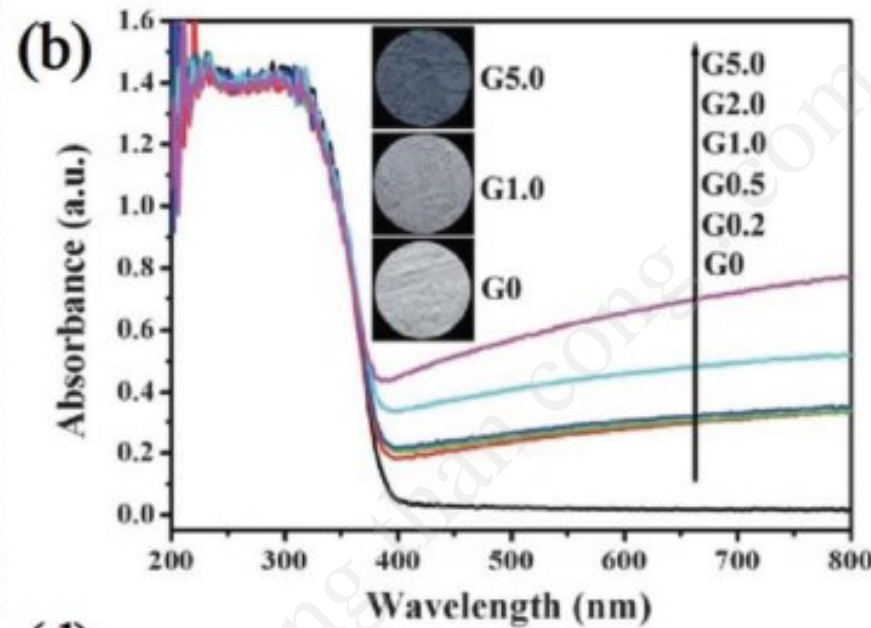
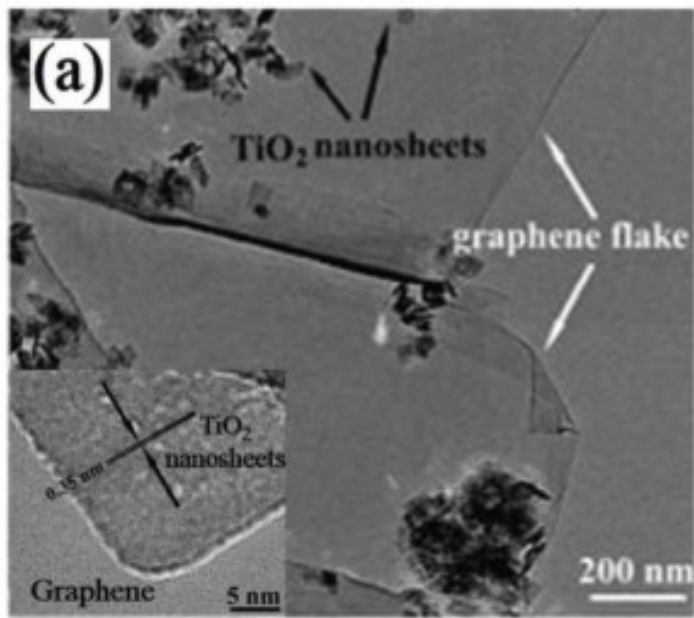


**Figure 15.** Schematic illustration of the electron–hole separation on all-solid-state Z-scheme photocatalysts under light irradiation.



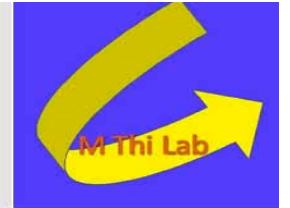
**Figure 16.** Schematic illustration of electron–hole separation on a direct Z-scheme heterojunction photocatalyst under light irradiation.

# Semiconductor/Graphene Heterojunctions



## 2.2 Thiết kế các thí nghiệm đo quang xúc tác

### 2.2.1 Quang xúc tác xử lý nước



## 2.2 Thiết kế các thí nghiệm đo quang xúc tác

### 2.2.1 Quang xúc tác xử lý nước



**Synthesis of Ag nanoparticles loaded on TiO<sub>2</sub> nanotubes  
by photoreduction method**

## 2.2 Thiết kế các thí nghiệm đo quang xúc tác

### 2.2.1 Quang xúc tác xử lý nước



## 2.2.2 Quang xúc tác xử lý khí

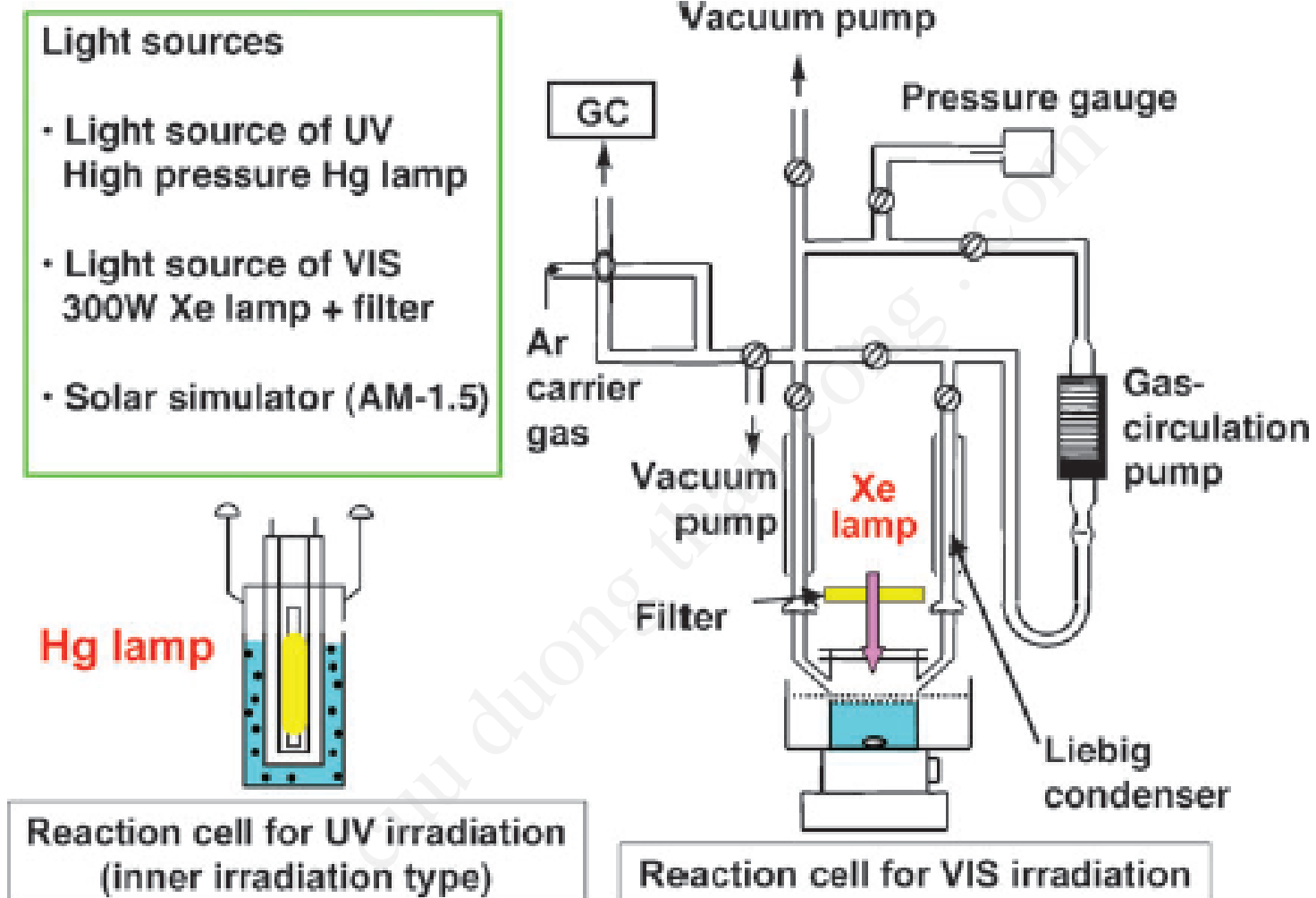
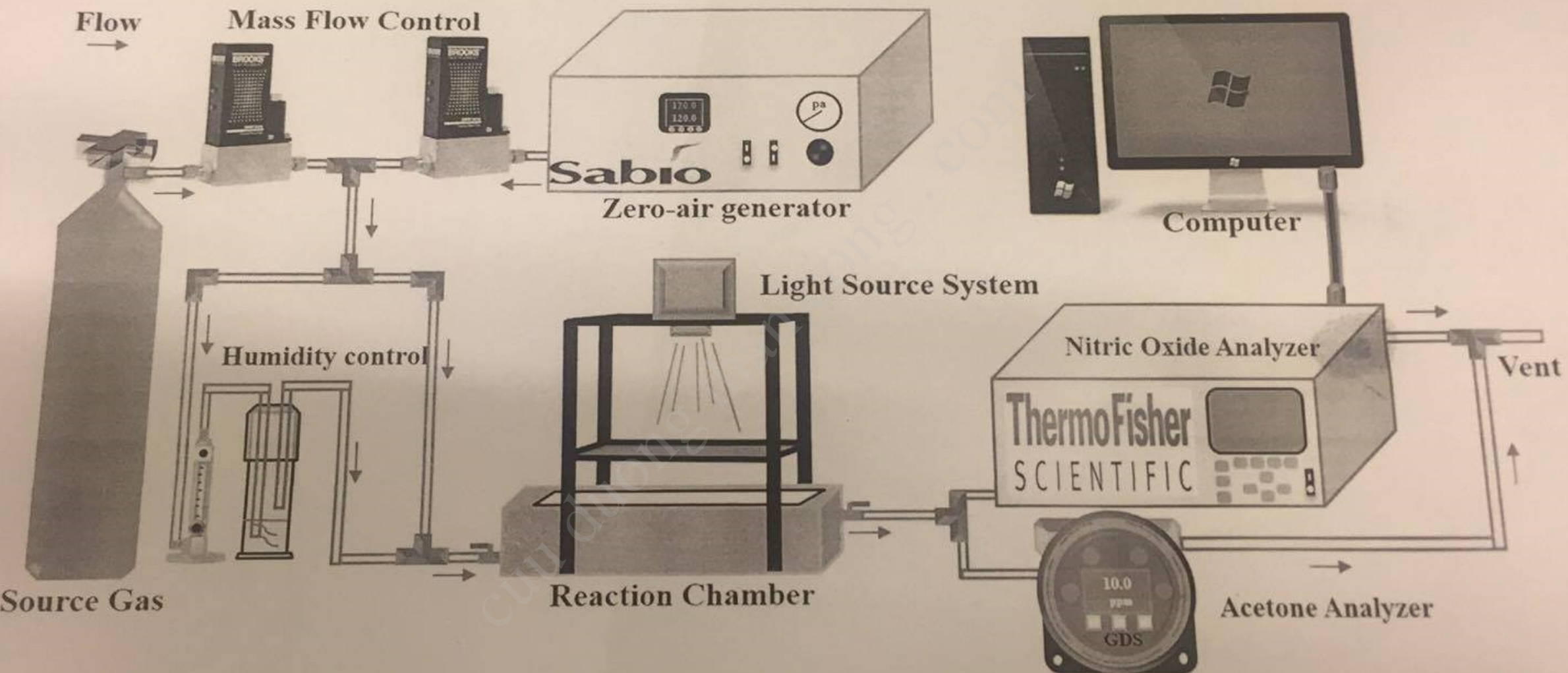


Fig. 11 An example of the experimental setup for photocatalytic water splitting.



用光催化系統，開機步驟(關系統倒著步驟)

開總電源，確 儀器通電正常	開啟零氣裝置， 溫度到達 110 時	開 MFC 控制器， 輸出零氣，檢查	開啟儀器熱機 30 分鐘(直到報	檢查反應艙 有無污損雜質	檢查鋼平接閥是 否漏氣，通入鋼 氣測量零點	等待氣體平衡後 開啟燈源之風扇	紀錄時間 反應並記 錄量具
		CuuDuongThanCong.com					<a href="https://fb.com/tailieudientuclnt">https://fb.com/tailieudientuclnt</a>

**The end!**